

ΜΙΚΡΟΤΕΚΤΟΝΙΚΕΣ ΠΑΡΑΤΗΡΗΣΕΙΣ ΣΤΟΥΣ ΓΡΑΝΙΤΕΣ ΤΗΣ ΙΚΑΡΙΑΣ*

Δ. Παπανικολάου**, Δ. Σακελλαρίου και Α. Λεβέντης

ΣΥΝΟΨΗ

Εξετάζεται η μικροτεκτονική δομή των μειοκανικών γρανιτών της Ικαρίας και διαπιστώνεται ότι υπάρχουν μεγάλες διαφορές ως προς την ένταση και το είδος της παραμόρφωσης. Ιδιαίτερα το κύριο γρανιτικό σώμα της δυτικής Ικαρίας περιλαμβάνει τυμάτα τελείως ανομοιογενή ως προς τον τεκτονικό ιστό, με περιοχές όπου το πέτρωμα είναι απαραμόρφωτο (κυρίως στο νότιο τυμά) ή έντονα μυλοντιλωμένο με δομή L-τεκτονίτη (κυρίως το αγαθολικό τυμά) ή έντονα μυλοντιλωμένο με δομή S-τεκτονίτη (κυρίως το αγαθολικό τυμά). Η τεκτονική ασυμμετρία δείχνει ότι το ζεύγος διάτησης έχει φορά προς Βορρά. Η έλλειψη διαμπερούς τεκτονικού ιστού στο μικρό γρανιτικό σώμα του Ξυλοσύρτη σε συνδυασμό με τις ραδιοχρονολογικές ηλικίες επιτρέπει την χρονολόγηση της δημιουργίας των μικροδομών και την πιθανολόγηση της γενετικής σχέσης των λόγω ενός μεγαλιτητικού ζεύγους δυνάμεων στα πλαίσια της νεότερης γεωτεκτονικής εξέλιξης.

ABSTRACT

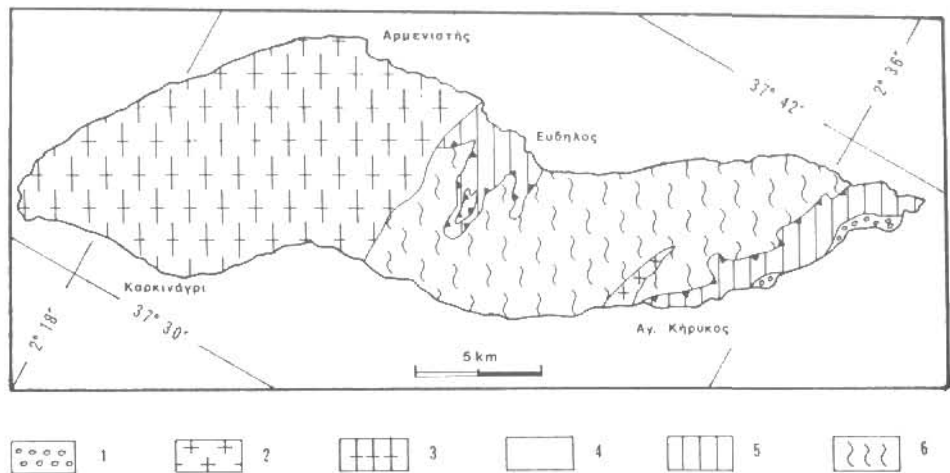
The microstructures of the Miocene granites of Ikaria island have been studied and important differences concerning the degree and style of deformation have been found. Especially the main granitic body of western Ikaria comprises rather inhomogeneous parts, as far as their structural framework is concerned, with domains where the rock is undeformed (mainly along the southern outcrops) or domains where the rock is highly mylonitic with characteristics of s-tectonite (mainly in the western outcrops) or domains where the rock is ultramylonitic with characteristics of L-tectonite (mainly along the eastern outcrops). The shear sense is directed towards the north. The lack of penetrative structures within the smaller granitic body of Xylosyrtis and the available radiochronologic data permit the dating of the microstructures and the discussion of their genetic relation within a megashear developed during the late geotectonic evolution of the area.

1. ΕΙΣΑΓΩΓΗ ΣΤΗ ΓΕΩΛΟΓΙΑ ΤΗΣ ΙΚΑΡΙΑΣ

Η Νήσος Ικαρία αποτελείται κυρίως από μεταμορφωμένα και πυριγενή κρυσταλλικά πετρώματα που ανήκουν στην ενδιάμεση μεταβατική περιοχή ανάμεσα στην "Αττικοκυκλαδική" και στην "Αυδοκαρική" μάζα (PHILIPPSON, 1898, 1959, RENZ, 1940, KTENAΣ, 1969) ή στην ενδιάμεση τεκτονομεταμορφική ζώνη (BRUNN, 1956, DUERR et al 1978, ΠΑΠΑΝΙΚΟΛΑΟΥ, 1984, 1988).

* PAPANIKOLAOU, D., SAKELLARIOU, D., LEVENTIS, A.: Microstructural observations on the granite of Ikaria island, Aegean Sea.

** Τομείς Δυναμικής Γεωλογίας της Επικοινωνίας Καθηγητής Α.Π.Θ. Παν/μιο Αθηνών, Πανεπιστημιούπολη Ζωγράφου, 15784 Αθήνα.



Εικ. 1: Απλοποιημένος γεωλογικός χάρτης της νήσου Ικαρίας (από ΠΑΠΑΝΙΚΟΛΑΟΥ, 1978). 1: Θαλάσσια ιζήματα Κατώτερου Πλειοκαίνου, 2: Άνω Μειοκαίνικος γρανίτης Ευλοσύρτη, 3: Κάτω Μειοκαίνικος γνευσιακός γρανίτης Δ. Ικαρίας, 4: τεκτονική ενότητα Κεφάλας με μη μεταμορφωμένα ανθρακικά του Άνω Τριαδικού, 5: Μικρού βαθμού μεταμόρφωσης πετρώματα της ενότητας Μεσαρίας, 6: μεταμορφωμένα πετρώματα της ενότητας Ικαρίας.

Fig. 1: Simplified geological map of Ikaria Island (after PAPANIKOLAOU 1978). 1. Lower Pliocene marine sediments. 2. Upper Miocene Xylosyrtis granite. 3. Lower Miocene granite of W. Ikaria. 4. Kefala Unit. 5. Mesaria Unit. 6. Ikaria Unit.

Ειδικές μονογραφίες για τη γεωλογική δομή της Ικαρίας είναι η μετά θάνατον δημοσίευση από τον καθηγητή Γ. Μαρίνο της εργασίας του KTENA (1969) και η πλούσια πρόσφατη του ΠΑΠΑΝΙΚΟΛΑΟΥ (1978, 84, 86) που προτείνουν μια διάκριση τεκτονικών ενότητων και μια στρωματογραφική διάρθρωση. Σημαντικά επίσης στοιχεία ιδιαίτερα ως προς την πετρολογία και ραδιοχρονολόγηση των γρανίτων περιέχονται και στις σύνθετες δημοσιεύσεις των DUERR et al (1978) και ALTHERR et al (1982).

Οι τεκτονικές ενότητες της Ικαρίας κατά ΠΑΠΑΝΙΚΟΛΑΟΥ (1978) είναι οι εξής (Εικ. 1):

- Κατώτερη ενότητα **Ικαρίας**, που περιλαμβάνει γνευσιακούς και μάρμαρα και αποτελεί τον κορμό της Ανατολικής Ικαρίας
- Ενδιάμεση ενότητα **Μεσαρίας**, που περιλαμβάνει φυλλίτες, πρασινοσχιστόλιθους και μάρμαρα και απαντά στην ομώνυμη κοιλάδα στην Κεντρική Ικαρία και στην νοτιοανατολική παράκτια ζώνη
- Ανώτερη ενότητα **Κεφάλας**, που περιλαμβάνει κυρίως ελαφρά ανακρυσταλλωμένους ασθετόλιθους και δολομίτες ανωτεριαδικής ηλικίας.

Στα παραπάνω πετρώματα προστίθεται ο "γνευσιακός γρανίτης" της Δυτικής Ικαρίας (KTENA, 1969) που έχει υποστεί έντονη μεταμόρφωση (ΠΑΠΑΝΙΚΟΛΑΟΥ, 1978) και ο γρανίτης του Ευλοσύρτη που εμφανίζεται χωρίς μεταμόρφωση. Οι μικροδομές των γρανίτων της Ικαρίας αποτε-

λούν το ιδιαίτερο αντικείμενο της παρούσας ανακοίνωσης.

Τέλος θα πρέπει να σημειωθεί και η παρουσία θαλασσίων ιζημάτων του Κατώτερου Πλειοκαίνου (KTENA, 1927) στην νοτιοανατολική παράκτια ζώνη της Ικαρίας, τα οποία οριοθετούν χρονικά τις παραμορφωτικές φάσεις του κρυσταλλικού υποβάθρου της Ικαρίας παρά το ότι είναι και αυτά έντονα παραμορφωμένα (ANGELIER, 1979).

2. ΓΡΑΝΙΤΗΣ ΔΥΤΙΚΗΣ ΙΚΑΡΙΑΣ

Ο γρανίτης της Δ. Ικαρίας καταλαμβάνει τη μισή σχεδόν έκταση του νησιού και ορυκτολογικά παρουσιάζεται ομοιόμορφος. Χαλαζίας, άστριοι και βιοτίτης είναι τα κύρια ορυκτολογικά συστατικά του. Κατά τόπους συμμετέχουν στη σύστασή του λευκός μαρμαρυγίας (μοσχοβίτης) και κεροστίλη, ενώ σε μικρό ποσοστό εμφανίζονται τουρμαλίνης, σφήνα, ζιρκόνιο, γρανάτης και δευτερογενώς χλωρίτης.

Οι ALTHERR et al (1982) χαρακτηρίζουν τον γρανίτη αυτό σαν λευκογρανίτη και τον κατατάσσουν στον τύπο I. Ανήκει μαζί με τους άλλους ασθεταλκαλικούς γρανίτες και γρανοδιορίτες τύπου I και S που εμφανίζονται στο Κεντρικό Αιγαίο, στο μαγματικό τόξο του κατώτερου Μελοκαίνου, που διευθύνεται παράλληλα προς την Ελληνική Τάφρο. Το μαγματικό αυτό τόξο χαρακτηρίζεται από βαθμίατα αύξηση ποσοστού του Κ2O προς την οπισθοχώρα. Ο γρανίτης Δ. Ικαρίας ανήκει στους πλούσιους σε Κ2O πλούτωντες του τόξου (ALTHERR 1980, ALTHERR et al 1982).

Ραδιοχρονολογήσεις που έγιναν από τους ίδιους ερευνητές με τις μεθόδους K/Ar και Rb/Sr σε κεροστίλη και μαρμαρυγίες έδωσαν ηλικίες 22-23 Ma αφενός και 8-10 Ma αφετέρου. Από αυτές η πρώτη θεωρείται από τους συγγραφείς σαν ηλικία διείδυσης του γρανίτη στο Κατώτερο Μελόκαίνο, αμέσως μετά τον παροξυσμό της LP/HT, χαμηλού έως μέσου βαθμού μεταμόρφωσης, που τοποθετείται στο Άνωτ. Ολιγόκαλνο (25 Ma) και επηρρέασε τις κυανοσχιστολιθικού τύπου ενότητες των Κυκλαδών. Η ηλικία των 8-10 Ma χαρακτηρίζεται από τους συγγραφείς σαν ηλικία ψύξης του γρανίτη σε θερμοκρασία μικρότερη ή ίση της θερμοκρασίας που σταθεροποιείται το ραδιενεργό σύστημα K/Ar και Rb/Sr σε μαρμαρυγίες, δηλαδή περί τους 300°C (ARMSTRONG et al 1966, PURDY & JAGER 1976).

Η ομοιομορφία που παρουσιάζει η ορυκτολογική σύσταση του γρανίτη δεν ισχύει ούτε για τον ίστο του πετρώματος, αλλά ούτε και για τον βαθμό και το είδος της παραμόρφωσης που αυτός έχει υποστεί και που εμφανίζουν σημαντικές διαφορές μέσα στο ίδιο το γρανίτικό σώμα. Ετσι με βάση τους παράγοντες αυτούς μπορούμε να διακρίνουμε τρεις περιοχές στον γρανίτη Δ. Ικαρίας, οι οποίες θα περιγραφούν στη συνέχεια, κυρίως όσον αφορά τον τεκτονικό τους ίστο.

Οι περιοχές αυτές κατά σειρά αυξανομένου βαθμού παραμόρφωσης είναι οι εξής:

- Κατ' αρχήν το νότιο τμήμα του γρανίτη, στο οποίο διατηρείται ο τυπικός μαγματικός ίστος και δεν παρουσιάζει ίχνη διαμπερούς παραμόρφωσης.

- Στη συνέχεια το δυτικό τμήμα, όπου ο γρανίτης έχει μετατραπεί σε ορθογνεύσιο με ανάπτυξη s-επιπέδων και παρουσιάζει συγχρόνως ασθενή μυλονιτίσωση.

- Και τέλος το ανατολικό τμήμα, δηλαδή το τμήμα του γρανίτη κοντά στην επαφή του με τα μεταμορφωμένα πετρώματα των ενότητων Ικαρίας και Μεσαρίας, στο οποίο παρατηρείται πολύ έντονη γράμμωση

καὶ μυλονιτίωση.

Τα όρια μεταξύ των τριών αυτών τμημάτων του γρανίτη Δ. Ικαρίας δεν είναι απότομα αλλά μεταβαίνουν βαθμιαία από την μία κατάσταση στις άλλες.

2.1. Απαραμόρφωτος γρανίτης

Το τμήμα αυτό του γρανιτικού σώματος δεν παρουσιάζει ίχνη διαμπερούς παραμόρφωσης. Το πέτρωμα αποτελείται κυρίως από μεγάλους κρυστάλλους αστρίων (πλαγιοκλάστου, μικροκλινή και ορθοκλάστου), βιοτίτη και από μεσοκρυσταλλικό κυρίως χαλαζία.

Οι νατριούχοι αστριοί αντιπροσωπεύονται από πλαγιόκλαστο σύστασης αλβίτη-ολιγοκλάστου. Ορθόκλαστο και μικροκλινής μοιράζονται το ποσοστό των καλιούχων αστρίων. Οι αστριοί εμφανίζονται ως επί το πλείστον με καλά διαμορφωμένους κρυστάλλους, ενώ τα πλαγιόκλαστα παρουσιάζουν και την τυπική ζώνωση. Ωπως συνήθως αναμένεται συχνές είναι και οι μυρμηκιτικές συμφύσεις.

Ο βιοτίτης, ή ο μοσχοβίτης σπανιότερα, εμφανίζονται ανάμεσα στους αστριούς με μεγάλα φυλλάρια.

Τουρμαλίνης και σφήνα παρουσιάζονται πάντα με ιδιόμορφους κρυστάλλους.

Τον υπόλοιπο όγκο του πετρώματος καταλαμβάνει ο χαλαζίας.

Ο μαγματικός ιστός του νότιου τμήματος του γρανίτη Δ. Ικαρίας διατηρείται αδιατάρακτος. Η κυματοειδής κατάσθεση των κρυστάλλων χαλαζία είναι η μόνη μορφή παραμόρφωσης που παρατηρείται. Προσανατολισμός των ορυκτολογικών συστατικών δεν παρουσιάζεται πουθενά, ενώ αντίθετα πολύ συχνά εμφανίζεται η γωνία ισορροπίας 120° μεταξύ τριών κρυστάλλων σε επαφή (tripple point).

Το απαραμόρφωτο νότιο τμήμα του γρανίτη Δ. Ικαρίας είναι το μόνο που δικαιούται να έχει τον χαρακτηρισμό "γρανίτης". Το τμήμα αυτό αποτελεί τον απαραμόρφωτο "πυρήνα" του γρανίτη Δ. Ικαρίας που "προστατεύθηκε" από την παραμόρφωση που επηρέασε το υπόλοιπο γρανιτικό σώμα, όπως φάνεται από την ύπαρξη ζώνης μετάβασης στην περιοχή Καλάμου σε υψόμετρο μεταξύ 400-500m όπου πάνω από το απαραμόρφωτο σώμα αρχίζει η εμφάνιση σχεδόν οριζοντίων s-επιφανειών σε μέση απόσταση 50cm.

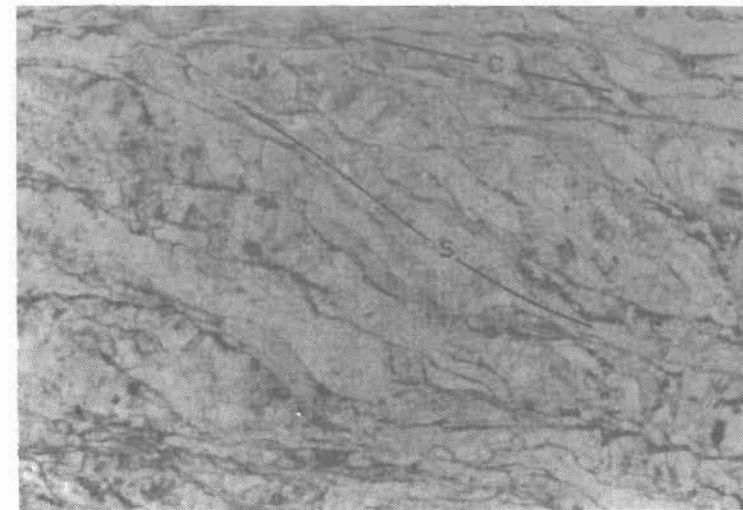
2.2. Γρανίτης με δύο s-επιφάνειες - s-Τεκτονίτης

Ο ιστός του γρανίτη στο τμήμα αυτό, όπως και στο ανατολικό, είναι εντελώς διαφορετικός από αυτόν του νότιου τμήματος. Η έντονη παραμόρφωση και διάτμηση οδήγησαν στη δημιουργία διαμπερούς σχιστότητας και γράμμωσης και απάλειψαν κάθε στοιχείο μαγματικού ιστού.

Ειδικότερα το δυτικό τμήμα παρουσιάζει την εξής εικόνα: Δύο διαμπερείς s-επιφάνειες και μία αρκετά έντονη γράμμωση δικαιολογούν τον χαρακτηρισμό του γρανίτη στο τμήμα αυτό σαν ορθογενεύσιο (Εικ. 2).

Η πρώτη επιφάνεια σι χαρακτηρίζεται σαν σχιστότητα από τον απόλυτο προσανατολισμό των μαρμαρυγιών και του μεσοκρυσταλλικού χαλαζία και των σαφή προσανατολισμό των πλαγιόκλαστων και των καλιούχων αστρίων. Γράμμωση που να συνδέεται γενετικά με την σι δεν παρατηρήθηκε.

Ενδιαφέρον παρουσιάζει το γεγονός, ότι οι κρύσταλλοι όλων των



Εικ. 2: s-c μυλονιτικός ιστός στο δυτικό τμήμα του γρανίτη Δ. Ικαρίας με φορά διάτμησης προς Βορρά (αριστερά στη φωτογραφία). Δείγμα 27, παράλληλη Nicols, X12, τομή παράλληλη προς τη γράμμωση.

Fig. 2: s-c mylonitic structure in the western part of the W. Ikaria granite indicating a top-to-North (left) sense of movement. Probe 27, parallel Nicols, X12, cross section parallel to the lineation.

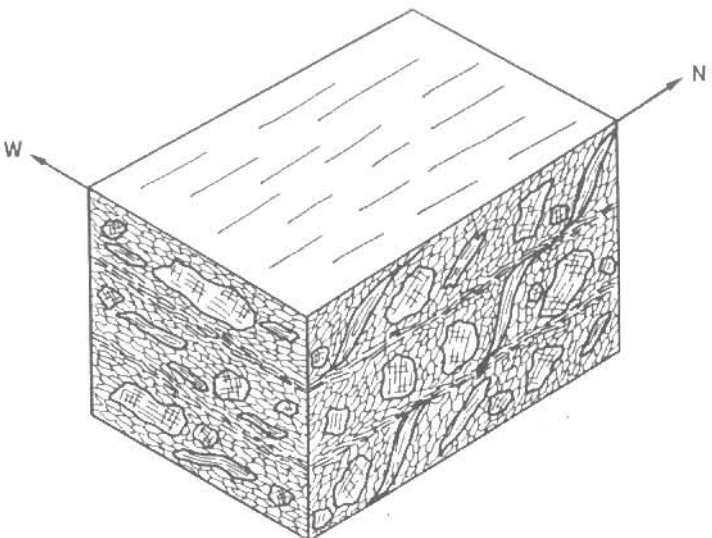
προαναφερθέντων ορυκτών, παρά τον έντονο προσανατολισμό που παρουσιάζουν, δεν δείχνουν ίχνη σημαντικής παραμόρφωσης, που να σχετίζεται με την δημιουργία της σι. Η θραυσιγγής έως πλαστική παραμόρφωση, που έχουν υποστεί τα ορυκτά αυτά, οφείλεται κυρίως στη διάτμηση που έλαβε χώρα κατά τη δημιουργία της δεύτερης επιφάνειας σι.

Η διαπίστωση αυτή καθώς επίσης και η παντελής έλλειψη χαρακτηριστικών στοιχείων-υπολειμμάτων του παλαιότερου μαγματικού ιστού οδηγούν στο συμπέρασμα ότι πιθανότατα δεν δημιουργήθηκε ποτέ τυπικός μαγματικός ιστός στο δυτικό τμήμα του γρανίτη Δ. Ικαρίας. Αντίθετα το πέτρωμα κρυσταλλώθηκε υπό την επίδραση του εντατικού πεδίου της πρώτης φάσης παραμόρφωσης, που έδωσε την σι, και απέκτησε ευθύς εξ αρχής προσανατολισμένο ιστό, που δημιουργήθηκε κάτω από συνθήκες φθίνουσας θερμοκρασίας, κατά την ψύξη του γρανίτη, περίπου 600-500°C.

Τη δημιουργία της σχιστότητας σι στο δυτικό τμήμα του γρανίτη Δ. Ικαρίας ακολουθεί μία δεύτερη φάση παραμόρφωσης που, όπως θα δούμε παρακάτω, έχει διαφορετικό χαρακτήρα από την πρώτη.

Μακροσκοπικά το πέτρωμα αποκτά μία δεύτερη επιφάνεια σι που παραμορφώνει την σι αλλά δεν είναι τόσο έντονα αναπτυγμένη όσο αυτή. Οι επιφάνειες της σι απέχουν μεταξύ τους κατά κανόνα λίγα mm έως λίγα cm, σε αντίθεση με τις επιφάνειες της σι, που είναι πιο πυκνές και αποτελούν σε γενικές γραμμές το κυριαρχο s-επίπεδο του τεκτονικού ιστού του δυτικού τμήματος του γρανίτη Δ. Ικαρίας.

Το μόνο γραμμικό στοιχείο του ιστού του γρανίτη, μία έντονα αναπτυγμένη γράμμωση λόγω προσανατολισμού των αστρίων και των μαρμαρυγιών στις επιφάνειες σι, οφείλεται στη δεύτερη παραμόρφω-



Εικ. 3: Σχηματική παράσταση χωρίς κλίμακα του τεκτονικού ιστού του δυτικού τμήματος του γρανίτη Δ. Ικαρίας. Σε τομή παράλληλη προς τη γράμμωση (N-S) εμφανίζεται τυπικός s-c μυλοντικός ιστός ενώ σε τομή κάθετη προς τη γράμμωση (E-W) τα δύο s-επίπεδα φαίνονται παράλληλα.

Fig. 3: Schematic block diagram showing the deformation structure of the western part of the W. Ikaria granite. The section parallel to the lineation (N-S) is characterized by the s-c mylonitic structure.

ΤΙΚΗ ΦΑΣΗ, έχει διεύθυνση N-S και μικρή βύθιση. Μακροσκοπικά το δυτικό τμήμα του γρανίτη Δ. Ικαρίας μπορεί να χαρακτηρισθεί σαν s-τεκτονίτης (Εικ. 3).

Μικροσκοπικά η επιφάνεια s_2 παρουσιάζει διαφορετικά χαρακτηριστικά από την s_1 . Οι επιφάνειες της s_2 αποτελούν μικροσκοπικές ζώνες πάχους 0,1-1mm, που κόβουν τις επιφάνειες της s_1 , οι οποίες παραμορφώνονται σιγμοειδώς. Οι ζώνες της s_2 συνίστανται σχεδόν εξ ολοκλήρου από μικροκρυσταλλικό χαλαζία και σε μικρό ποσοστό από επισημαντικές μαρμαρυγίες. Η μείωση του μεγέθους των κρυστάλλων του χαλαζία και των μαρμαρυγίων οφείλεται αποκλειστικά στην πολύ εντονή κατακλαση και σε μεγάλο βαθμό ανακρυστάλλωση, που οφείλονται στην εντονη διατμηση, η οποία προφανώς έλαβε χώρα κατά μήκος των ζώνων αυτών. Οχι σπάνια, παρατηρήθηκε στις μικροσκοπικές αυτές ζώνες και η ύπαρξη ψευδοταχυτής, που συχνά εισχωρεί υπό μορφή φλεβιδίων και στο γύρω πέτρωμα, έχει από τις διατμητικές ζώνες, κατά μήκος των οποίων λαμβάνει χώρα η γέννεσή του.

Αντίθετα κρύσταλλοι αστρίων σπάνια συμμετέχουν στη σύσταση των διατμητικών ζώνων της s_2 αλλά συγκεντρώνονται στο ενδιάμεσο τμήμα του πετρώματος μεταξύ των επιφανειών σχισμού της s_2 , παραμορφώνονται ή/και περιστρέφονται μηχανικά, σπάνια όμως προσανατολίζονται παράλληλα στην s_2 . Τα πλαγιόκλαστα και οι καλιούχοι αστριοί υφίστανται κατά τη διάρκεια της δεύτερης φάσης κυρίως θραυσιγενή έως θραυσιγενή - πλαστική παραμόρφωση. Χαρακτηριστικές είναι οι μορφές κυματοειδούς κατάσβεσης, οι μικρορηγματώσεις, οι ζώνες αποχωρισμού (segregation bands), που συνήθως

έχουν πληρωθεί από χαλαζία, και οι ταινίες παραμόρφωσης, που παρατηρήθηκαν πολύ συχνά στους κρυστάλλους αστρίων και υποδηλώνουν θραυσιγενή χαρακτήρα παραμόρφωσης (HANMER, 1982). Αντίστοιχα η επίσης συχνή ύπαρξη μορφών μηχανικής ανακρυστάλλωσης (πολυγωνισμού) των αστρίων και της κυμάτωσης των πολυδύμων των πλαγιοκλάστων αποτελούν εκφράσεις θραυσιγενούς - πλαστικής παραμόρφωσης των αστρίων.

O KRUHL J.H.(1979, 1984, 1987), προσπαθόντας να συστηματοποιήσει τις μορφές παραμόρφωσής των πλαγιοκλάστων σε συνάρτηση με την θερμοκρασία αναφέρει τα εξής:

Τα πλαγιόκλαστα αντιδρούν σαν άκαμπτα σώματα και παραμορφώνονται θραυσιγενώς, όταν η παραμόρφωση λαμβάνει χώρα σε συνθήκες θερμοκρασίας $T \leq 400^{\circ}\text{C}$. Σε υψηλότερες θερμοκρασίες παρατηρείται κυματοειδής κατάσβεση και δημιουργία ταινιών παραμόρφωσης. Σε θερμοκρασίες λίγο χαμηλότερες των 500°C η παραμόρφωση οδηγεί στον πολυγωνισμό (polygonisation) των κρυστάλλων, ενώ από τους 500°C και ανω τα πλαγιόκλαστα ανακρυστάλλωνται. Στην παραπάνω ταξινόμηση των μορφών παραμόρφωσης κάποιο ρόλο, εν προκειμένου όχι σημαντικό, παίζει και η ταχύτητα παραμόρφωσης (strain rate), ενώ ασαφής παραμένει η επίδραση της λίθοσφαιρικής πίεσης.

Σύμφωνα με τα παραπάνω οι μορφές παραμόρφωσης των πλαγιοκλάστων και γενικώτερα των αστρίων που παρατηρήθηκαν στο δυτικό τμήμα του γρανίτη Δ. Ικαρίας αντικατοπτρίζουν συνθήκες θερμοκρασίας κατά την δεύτερη παραμορφωτική φάση χαμηλότερες των 500°C .

Η ολοκληρωτική ανακρυστάλλωση του χαλαζία και των μαρμαρυγιών, που παρατηρείται στις μικροσκοπικές ζώνες διάτμησης s_2 , συνήγορε στην αποδοχή συνθηκών θερμοκρασίας περί τους 300°C (VOLL, 1976) τουλάχιστον. Εδώ θα πρέπει να αναφερθεί ότι, η ανακρυστάλλωση των ορυκτών αυτών είναι σχετικά ασθενής έξω από τις ζώνες διάτμησης, όπου διατηρούν τον προσανατολισμό τους παράλληλα στην s_1 . Ετοι φαίνεται ότι η ανακρυστάλλωση στις ζώνες της s_2 οφείλεται και σε μεγάλο βαθμό και στην έντονη διάτμηση που ελατεί χώρα σε αυτές.

Τέλος παρατηρήθηκαν, σε κλίμακα μικροσκοπίου, μορφές θραυσιγενούς παραμόρφωσης του πετρώματος συνολικά, όπως μικροδιαρρήξεις με σύγχρονη περιστροφή των μεταξύ τους ρητίτεμαχών, οι οποίες συμφωνούν απόλυτα με την συμμετρία και τον προσανατολισμό της δεύτερης παραμορφωτικής φάσης. Οι δομές αυτές δημιουργήθηκαν κατά τα τελευταία στάδια της δεύτερης φάσης σε συνθήκες θερμοκρασίας του πετρώματος σημαντικά χαμηλότερες των 300°C .

Λαμβάνοντας υπόψιν τις μορφές παραμόρφωσης που περιγράφηκαν οδηγούμαστε στο συμπέρασμα ότι η δεύτερη παραμορφωτική φάση έλαβε χώρα υπό συνθήκες θερμοκρασίας χαμηλότερες των 500°C και συνεχίστηκε μέχρι την ψύξη του γρανιτικού σώματος σε θερμοκρασίες χαμηλότερες των 300°C .

Από όσα αναφέρθηκαν παραπάνω μπορούμε σαφώς να διακρίνουμε τις διαφορές στον χαρακτήρα των δύο παραμορφωτικών φάσεων, που επέδρασαν στο δυτικό τμήμα του γρανίτη Δ. Ικαρίας.

Ετοι κατά την πρώτη φάση έχουμε μονοκλίνους συμμετρίας παραμόρφωση με κυρίαρχο στοιχείο του τεκτονικού ιστού τις επιφάνειες σχιστότητας s_1 .

Κατά τη δεύτερη φάση παραμόρφωσης έχουμε συνθήκες ανώτερου τεκτονικού ορόφου και μεγάλη ταχύτητα παραμόρφωσης. Η φάση αυτή έλαβε χώρα υπό συνθήκες θερμοκρασίας χαμηλότερες της πρώτης φάσης και δημιουργήσει τεκτονικό ιστό με στοιχεία μονοκλίνους συμμετρίας (επιφάνειες σχισμού s_2), αλλά και έντονα στοιχεία αξονικής συμμετρίας (γράμμωση). Οι επιφάνειες σχισμού s_2 σε συνδυασμό με



Εικ. 4: Ιχνη της σχιστότητας si σε δομές μικροπτυχών, που διατηρούνται παρά την έντονη μυλονίτιση και την γεωτερή μικροδιάρρηξη. Δείγμα 22, τομή παράλληλη προς την γράμμωση, παράλληλη Nicols, X32.

Fig. 4: Relictic microfolds of the si schistosity surrounded by mylonitic bands and cut by a younger microfault. Probe 22, section parallel to the lineation, parallel Nicols, X32.

αυτές της σχιστότητας si δημιουργούν τον τυπικό ιστό s-c, που απαντάται στους μυλονίτες (LISTER & SNOKE, 1984). Πράγματι το δυτικό τμήμα του γρανίτη Δ. Ικαρίας μπορεί να χαρακτηρίσθει σαν πρωτομυλονίτης. Η διάταξη των επιφανειών si και s₂ (s-c) δείχνει φορά κίνησης προς Βορρά (Εικ. 2).

Κατά τη δεύτερη φάση παραμόρφωσης δημιουργήθηκαν τοπικά ζώνες πολύ έντονης διάτμησης λόγω συσσώρευσης των τάσεων. Στις ζώνες αυτές ο ιστός της πρώτης παραμόρφωτικής φάσης έχει εξαλειφθεί πλήρως και δεν διατηρούνται ίχνη της si. Ο ιστός του πετρώματος στις ζώνες αυτές οφείλεται αποκλειστικά στη δεύτερη φάση παραμόρφωσης και συγκρίνεται με τον ιστό που κυριαρχεί στο ανατολικό τμήμα του γρανίτη Δ. Ικαρίας, ο οποίος θα περιγραφεί στο επόμενο κεφάλαιο. Το πετρώμα είναι τυπικός μυλονίτης Γορθομυλονίτης κατά WHITE et al. 1980).

2.3. Γρανίτης με έντονη γράμμωση - L-ΤΕΚΤΟΝΙΤΗΣ

Το ανατολικό τμήμα του γρανίτη Δ. Ικαρίας, δηλαδή το τμήμα που έρχεται άμεσα σε επαφή με τις μεταμορφωμένες ενότητες της Ικαρίας, παρουσιάζει την πιο έντονη παραμόρφωση από ολόκληρο το γρανιτικό σώμα. Παρατηρούμε δηλαδή μια κλιμακωτή αύξηση της έντασης της παραμόρφωσης από το νοτιό τμήμα με τον μαγματικό ιστό, προς το δυτικό με τον τεκτονικό ιστό της πρώτης φάσης (s-ΤΕΚΤΟΝΙΤΗΣ), μέχρι τέλος το ανατολικό τμήμα. Σε αυτό αφ ενός δεν παρατηρούνται στοιχεία του μαγματικού ιστού, αφ ετερου πολύ σπάνια διατηρούνται ίχνη του τεκτονικού ιστού της πρώτης φάσης παραμόρφωσης, που όπως αναφέρθηκε στο προηγουμένο κεφάλαιο, αποτελεί τον κύριο ιστό του δυτικού τμήματος. Στο ανατολικό τμήμα η διάταξη της δεύτερης

Ψηφιακή Βιβλιοθήκη "Θεόφραστος" - Τμήμα Γεωλογίας. Α.Π.Θ.



Εικ. 5: Ισχυρότατη γράμμωση N-S στο βόρειο τμήμα της επαφής του γρανίτη με τα μεταμορφωμένα δυτικά του Εύδηλου.

Fig. 5: Very strong lineation (N-S) from the northern part of the W. Ikaria granite close to the contact with the metamorphic rocks.

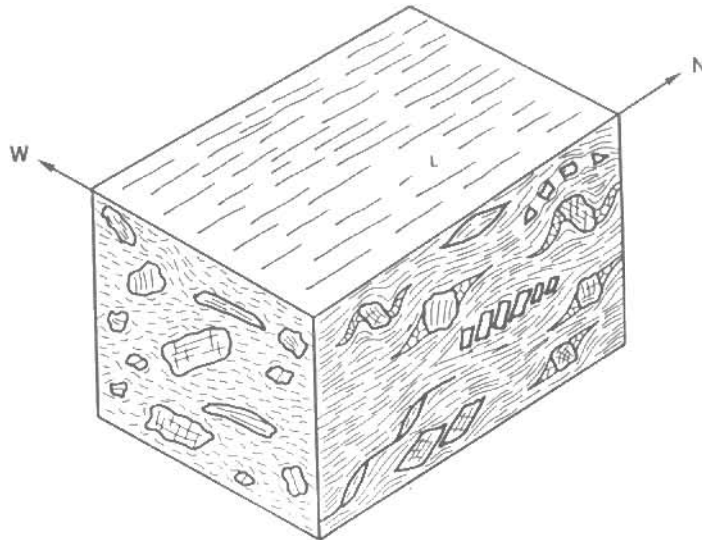
φάσης παραμόρφωσης ήταν πολύ έντονη και δημιουργήσεις έναν καθαρά μυλονίτικό ιστό.

Ετοιμά τα όποια ίχνη της σχιστότητας si, που διασώθηκαν από την μυλονίτιση της δεύτερης φάσης, είναι ορατά μόνο στο μικροσκόπιο (Εικ. 4) και αποτελούν υπολειμματικές δομές ανάλογες αυτής, που εικονίζεται στην Εικ. 2. Οι μορφές αυτές αν και είναι δευτερεύουσας σημασίας για την περιγραφή του ιστού, είναι πολύ σημαντικές για την αποκρυπτογράφηση της παραμορφωτικής ιστορίας του ανατολικού τμήματος του γρανίτη της Δ. Ικαρίας. Αποτελούν το μόνο στοιχείο που αποδεικνύει την επίδραση της πρώτης φάσης παραμόρφωσης στο τμήμα αυτό. Επειδή δεν βρέθηκαν στοιχεία που να αποδεικνύουν το αντίθετο, θα πρέπει να θεωρήσουμε ότι τόσο ο ιστός που δημιουργήθηκε, όσο και οι συνθήκες υπό τις οποίες έλαβε χώρα η πρωτη φάση στο ανατολικό τμήμα δεν παρουσιάζουν αξιόλογες διαφορές από το δυτικό τμήμα.

Μακροσκοπικά το ανατολικό τμήμα του γρανίτη Δ. Ικαρίας παρουσιάζει σχετικά καλά αναπτυγμένη μεταμορφική στρωμάτωση και μια πολύ έντονη γράμμωση, που πολλές φορές κυριαρχεί της στρωμάτωσης (Εικ. 5). Ετοιμά όχι σπάνια το πέτρωμα εμφανίζει τέλεια στρωμάτωση σε τομή παράλληλη προς τη γράμμωση, ενώ σε τομή κάθετη προς αυτή το s-επίπεδο είναι μάλλον ασαφές. Παρουσιάζει δηλαδή ο ιστός έντονα στοιχεία αδονικής συμμετρίας. Η γράμμωση όπως και στο δυτικό τμήμα του γρανίτη, έχει διεύθυνση N-S και αποτελεί προϊόν της δεύτερης παραμορφωτικής φάσης (Εικ. 6).

Το κυριαρχο στοιχείο του ανατολικού τμήματος είναι η πολύ μικροκρυσταλλική κύρια μάζα, που αποτελείται κυρίως από χαλαζία και λιγύτερο από μαρμαρυγίες.

Η στρωμάτωση της κυρίας μάζας οφείλεται σε δύο παράγοντες. Ο πρώτος είναι η συγκέντρωση αφ ενός του χαλαζία σε παχύτερες "στρώσεις", αφ ετέρου δε των μαρμαρυγιών, που δημιουργούν πολύ



Εικ. 6: Σχηματική παρασταση χωρίς κλίμακα του τεκτονικού ιστου του ανατολικού τμήματος του γρανίτη Δ. Ικαρίας. Σε τομή παράλληλη προς τη γράμμωση (N-S) εμφανίζεται ορθομυλονιτικός ιστός του πετρώματος με χαρακτηριστικές δομές περιστροφής, αποτέλεσμα μονοκλινους διάταξης. Αντίθετα σε τομή κάθετη προς τη γράμμωση (E-W) ο ιστός εμφανίζει αξονική συμμετρία.

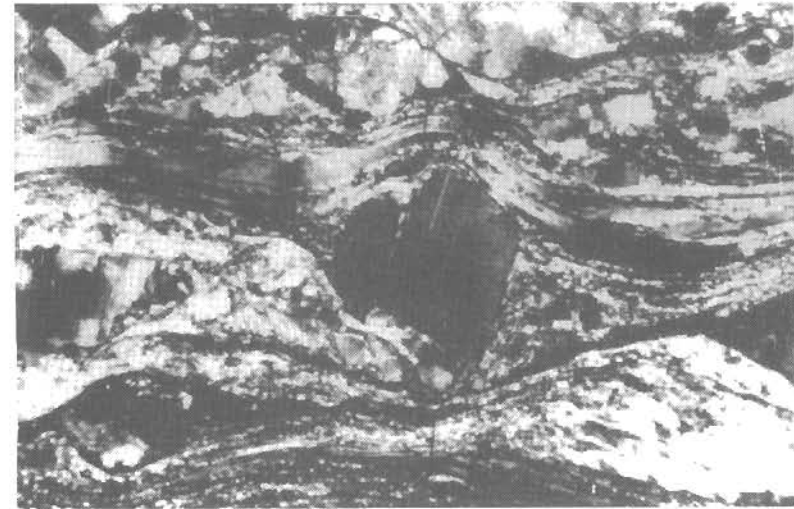
Fig. 6: Schematic block diagram showing the deformation structure of the eastern part of the W. Ikaria granite. The orthomylonitic texture is obvious on the section parallel to the lineation.

λεπτές τανίες (films). Ο δεύτερος παράγοντας, στον οποίο οφείλεται αποκλειστικά η στρωμάτωση μέσα στις ίδιες χαλαζιακές "στρώσεις", είναι η διαφορά του μεγεθους των κρυστάλλων του χαλαζία.

Οπως αναφέρθηκε η κύρια μάζα είναι μικροκρυσταλλική, επιδέχεται όμως, τουλάχιστον όσον αφορά το χαλαζιακό της τμήμα, πιο λεπτομερή διαχωρισμό. Ετσι παρατηρήθηκε ότι το μεγαλύτερο ποσοστό των χαλαζιακών "στρώσεων" συνιστάται από κρυστάλλους μεγεθους 20-30μ ή μεγαλύτερους που παρουσιάζουν εντονη επιμήκυνση και προσανατολισμό παράλληλα στην γενική στρωμάτωση. Οι "στρώσεις" αυτές είναι γενικά ανοιχτοχρωματικές και παχύτερες. Ανάμεσα σε αυτές παρεμβάλονται λεπτότερες και σχετικά ακουρόχρωμες "στρώσεις" στις οποίες το μέγεθος των κρυστάλλων χαλαζία είναι ίσο ή μικρότερο των 10μ. Στις στρώσεις αυτές οι κρύσταλλοι του χαλαζία δεν έχουν αισθητή επιμήκυνση ή προσανατολισμό, αλλά είναι περισσότερο λισθανατηρικοί.

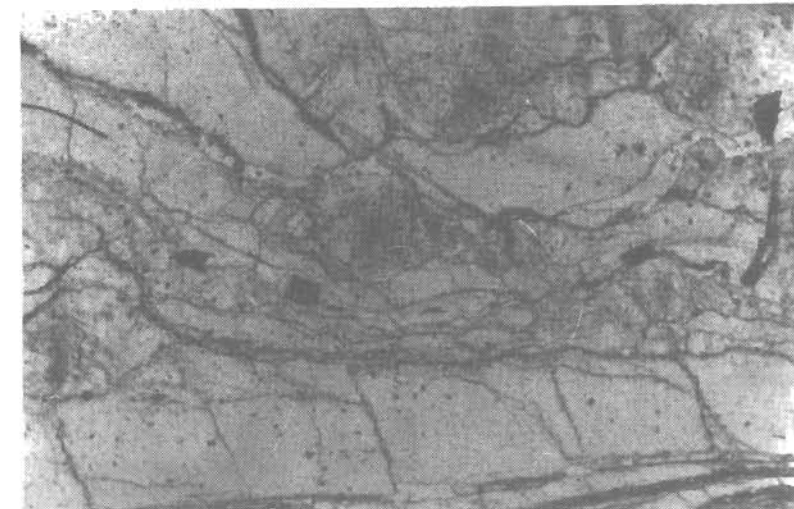
Ανάμεσα στις "στρώσεις" της μικροκρυσταλλικής κύριας μάζας "κολυμπάνε" μεγάλοι κρύσταλλοι (πορφυροκλάστες) πλαγιοκλάστων, καλιούχων αστρίων, μαρμαριγλών και σπανιώτερα σφήνας και τουρμαλίνη (Εικ. 7). Οι πορφυροκλάστες αυτοί αντιπροσωπεύουν τους αρχικούς μαγματικούς κρύσταλλους που ως επί το πλείστον έχουν διατηρηθεί. Ετσι είναι χαρακτηριστική η συχνή ζωνώδης δομή στα πλαγιοκλάστα και οι ιδιόμορφοι κρύσταλλοι τουρμαλίνη και σφήνας, των οποίων η ιδιόμορφια συχνά αποδεικνύεται μόνο αν συναρμολο-

Ψηφιακή Βιβλιοθήκη "Θεόφραστος" - Τμήμα Γεωλογίας Α.Π.Θ.



Εικ. 7: Πορφυροκλάστης πλαγιοκλάστου ανάμεσα σε χαλαζιακές μυλονιτικές ζώνες από το ανατολικό τμήμα του γρανίτη Δ. Ικαρίας. Δείγμα 20, κάθετα Nicols, X32, τομή παράλληλη προς τη γράμμωση.

Fig. 7: Porphyroblast of plagioclase between mylonitic quartz films from the eastern part of the W. Ikaria granite. Probe 20, crossed Nicols, X32, section parallel to the lineation.



Εικ. 8: Κρύσταλλος τουρμαλίνη (μαύρο) που έχει υποστεί εφελκυστική παραμόρφωση κατά τη διεύθυνση της διάταξης και έχει χωρίσει σε περισσότερα τμήματα. Ανατολικό τμήμα του γρανίτη Δ. Ικαρίας. Δείγμα 1, παράλληλη Nicols, X32, τομή παράλληλη προς τη γράμμωση.

Fig. 8: Tourmaline (black) divided in several parts due to extension along a shear zone. Eastern part of the W. Ikaria granite, probe 1, X32, parallel Nicols, section parallel to the lineation.

γηθούν τα κομμάτια στα οποία διαχωρίσθηκαν λόγω της διάτμησης και κατάκλασης που υπέστησαν (Εικ. 8).

Η παραμόρφωση που παρουσιάζουν οι πορφυροκλάστες είναι πολύ πιο έντονη από την παραμόρφωση που έχουν υποστεί οι αντίστοιχοι κρύσταλλοι στο δυτικό τμήμα του γρανίτη κατά την δεύτερη παραμορφωτική φάση αλλά γενικά έχει τον ίδιο χαρακτήρα. Δηλαδή είναι κυρίως θραυσιγενής έως θραυσιγενής - πλαστική, τουλάχιστον ως προς τους κρυστάλλους των αστρίων. Αντίθετα, τόσο ο τουρμαλίνης όσο και η σφήνα παραμορφώνονται μόνο θραυσιγενώς, ενώ οι πορφυροκλάστες των μαρμαρυγιών παρουσιάζουν πλαστική παραμόρφωση.

Σημαντικό είναι το γεγονός ότι η παραμόρφωση των πορφυροκλάστων στο ανατολικό τμήμα συνοδεύτηκε από έντονες περιστροφικές κινήσεις λόγω της μονοκλινούς διάτμησης. Το αποτέλεσμα ήταν η γέννηση πολλών δομών περιστροφής, που σχετίζονται με το είδος της παραμόρφωσης και την διαφορετική συμπεριφορά των διαφόρων ορυκτών στις συγκεκριμένες συνθήκες παραμόρφωσης.

Είναι δε χαρακτηριστικό ότι, όπως μικροσκοπικά έτσι και μακροσκοπικά, σε άτι αφορά το μεγεθός της διάτμησης και περιστροφής, το πέτρωμα παρουσιάζει δύο διαφορετικές όψεις.

Σε τομές παράλληλες στη γράμμωση κυριαρχεί, όπως ήδη έχει αναφερθεί πλά τέλεια στρωμάτωση της μικροκρυσταλλικής κύριας μυλοντικής μάζας. Συγχρόνως στις ίδιες τομές παρατηρήθηκαν οι πλέον χαρακτηριστικές μορφές πορφυροκλάστων, που μαρτυρούν αφ ενός έντονη παραμόρφωση, αφ επέρου σημαντικές περιστροφικές κινήσεις (Εικ. 9). Το ίδιο συχνά εμφανίζονται χαρακτηριστικοί σ-και δ-κλαστες και ενδιαμεσες δομές (SIMPSON & SCHMIDT 1983).

Οι δομές αυτές αποτελούν ασφαλή κριτήρια για τον καθορισμό της φοράς της διάτμησης κατά τη δεύτερη παραμορφωτική φάση. Όλες λοιπόν οι δομές περιστροφής, που παρατηρήθηκαν στο μικροσκόπιο, δείχνουν φορά διάτμησης προς Βορρά παράλληλα προς την γράμμωση L.

Τέτοιου ειδούς δομές αντίθετα δεν παρατηρήθηκαν σε τομές κάθετες στην γράμμωση. Στις τομές αυτές το s-επίπεδο του ιστού είναι ασαφές. Το πέτρωμα παρουσιάζει μάλλον χαοτική δομή, όπου πορφυροκλάστες κολυμπάνε σε μια μικροκρυσταλλική μάζα, που δεν παρουσιάζει κάποια συγκεκριμένη και καλά εκφρασμένη γεωμετρία. Κάτι αντίστοιχο συμβαίνει και με τους πορφυροκλάστες, οι οποίοι στις κάθετες προς την γράμμωση τομές εμφανίζονται ισοδιαμετρικοί και χώρις κανένα προσανατολισμό. Μικρή εξαίρεση σε αυτό παρατηρήθηκε σε ορισμένα δείγματα στα οποία η κίνηση φαίνεται ότι δεν έλαβε χώρα εντελώς παράλληλα προς την γράμμωση. Στις περιπτώσεις αυτές ο ιστός του πετρώματος παρουσιάζει κάποια γεωμετρικότητα καθώς επίσης και δομές κίνησης μικρού μεγέθους και περιστροφής.

Με βάση τα παραπάνω συμπερινέται ότι η κίνηση κατά τη δεύτερη παραμορφωτική φάση του γρανίτη Δ. Ικαρίας έλαβε χώρα περίπου παράλληλα στην γράμμωση L, που οφείλεται στην ίδια φάση και μπορεί να χαρακτηρισθεί σαν αγράμμωση (a-lineation).

3. ΓΡΑΝΙΤΗΣ ΞΥΛΟΣΥΡΤΗ

Ο γρανίτης του Ξυλοσυρτη παρουσιάζει μια χαρακτηριστική επιμήκη δομή διεύσδυσης σε διεύθυνση B-N. Από πετρογραφική αποφύ παρουσιάζεται ομοιόμορφος ενώ χαρακτηριστικό τεκτονικό στοιχείο στη μάζα του είναι μόνο η ύπαρξη ασθενούς γράμμωσης σε διεύθυνση B-N, ίδιας με αυτή του γρανίτη Δ. Ικαρίας και των μεταμορφωμένων



Εικ. 9: Πορφυροκλάστης πλαγιοκλάστου που έχει υποστεί θραυσιγενή παραμόρφωση με περιστροφή των θραυσμάτων κατά την αριστερότροφη φορά της διάτμησης (προς τη γράμμωση, παράλληλα Nicols, X32).

Fig. 9: A porphyroblast of plagioclase divided in several blocks due to brittle deformation, showing counterclockwise rotation (top-to-North). Eastern part of the W. Ikaria granite, probe 20, X32, parallel Nicols, section parallel to the lineation.

του νησιού. Αντίθετα δεν παρατηρείται σχιστοποίηση - φύλλωση δίνοντας έτσι την εντύπωση ενός υπανεπτυγμένου L-τεκτονίτη.

Στον γρανίτη αυτόν υπάρχουν απλιτικές φλέβες αρκετού πάχους με διεύθυνση A-D, οι οποίες δεν απαντούν στον γρανίτη Δ. Ικαρίας.

Ο γρανίτης αντιπροσωπεύεται από την ορυκτολογική σύσταση: χαλαζίας, καλιούχοι άστρων, πλαγιοκλάστα, βλοτίτης, τουρμαλίνης, μοσχοβίτης, επίδοτο, απατίτης, σφήνα και αδιαφανή ορυκτά. Τη γράμμωση την διαμορφώνουν οι επιμηκυσμένοι κρύσταλλοι βλοτίτη, μοσχοβίτη και τουρμαλίνη (ο τουρμαλίνης θρίσκεται σε μεγάλη αναλογία) καθώς και ο ανακρυσταλλωμένος στη διεύθυνση της γράμμωσης χαλαζίας. Σε τομές παράλληλα στη γράμμωση η συμμετρία φαίνεται ρομβική αλλά οι τομές κάθετα στη γράμμωση αποδεικνύουν ότι η παραμόρφωση του γρανίτη είναι αξονική.

Τέλος θα πρέπει να παρατηρήσουμε ότι ο γρανίτης αυτός στην επαφή του με τους γνεύσιους πλαγιάς παρουσιάζει τελείως αντίθετη συμπεριφορά από αυτή του γρανίτη Δ. Ικαρίας. Ενώ στην επαφή του γνεύσιακού γρανίτη είχαμε δημιουργία λαχυρότατης γράμμωσης λόγω τεκτονισμού της μαγματικής επαφής, εδώ στην επαφή με τους υπερκοινένους και περιβάλλοντες πλευρικά γνεύσιους, ο γρανίτης έχει την πιο δεινή του μορφή (απλιτική) ενώ η γράμμωση είναι ασθενής έως ανύπαρκτη.

Σύμφωνα με όσα προαναφέρθηκαν ο γρανίτης Δ. Ικαρίας παρουσιάζει τρεις διαφορετικές μορφές και μπορεί να διακριθεί αντίστοιχα σε τρία τμήματα:

- Το νότιο τμήμα είναι εντελώς απαραμόρφωτο και διατηρεί αναλλοίωτο το μαγματικό του ιστό
- Το δυτικό τμήμα με τον τυπικό S-c ιστό, που δημιουργήθηκε κατά τη διάρκεια δύο παραμορφωτικών φάσεων και μια έντονη γράμμωση χαρακτηρίζεται σαν πρωτομυλονίτης. Υπολείμματα του μαγματικού ιστού δεν έγινε δυνατόν να αναγνωρισθούν.
- Στο ανατολικό τμήμα ούτε ο αρχικός μαγματικός ιστός, αλλά πολύ συχνά ούτε στοιχεία της πρώτης φάσης παραμόρφωσης είναι δυνατόν να αναγνωρισθούν. Η πολύ έντονη διάτημη που μετέτρεψε τον γρανίτη σε ορθομυλονίτη, απάλειψε σχεδόν ολοκληρωτικά τα στοιχεία που μαρτυρούσαν την προηγούμενη ιστορία του πετρώματος.

Αντίθετα ο γρανίτης του Ευλοσύρτη παρουσιάζεται ομοιογενής με ασθενή γράμμωση, η οποία έχει διεύθυνση N-S ακριβώς όπως και στον γρανίτη Δ. Ικαρίας.

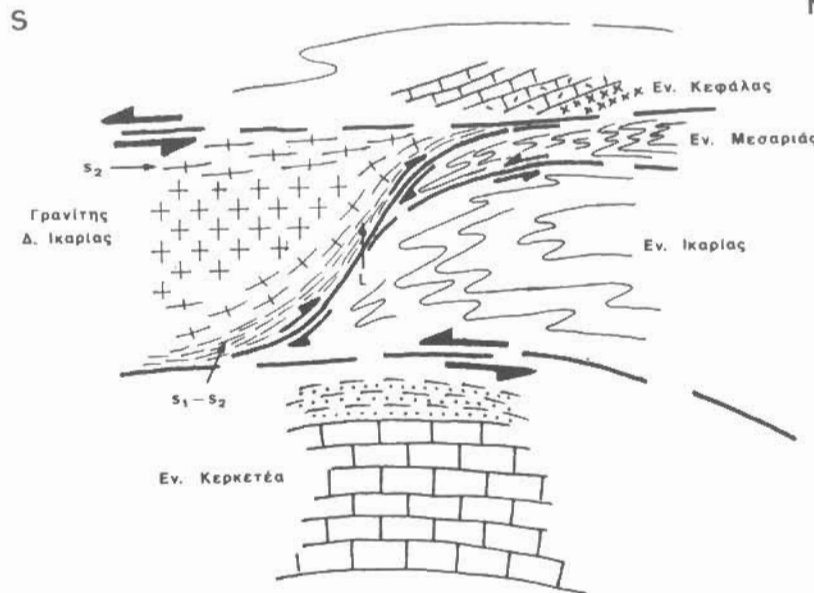
Η ηλικία των δύο παραμορφωτικών φάσεων που παρατηρούνται στο κεντρικό και δυτικό τμήμα του γρανίτη Δ. Ικαρίας μπορεί να προσδιοριστεί σαν Κάτω-Μειοκανική για την πρώτη παραμορφωτική φάση και Ανώ-Μειοκανική για την δεύτερη φάση.

Το συμπέρασμα αυτό βγαίνει από τα δεδομένα που αναφέρθηκαν για τα χαρακτηριστικά των δύο φάσεων (Κεφ. 2.2 και 2.3) σε συνδυασμό με τα ραδιοχρονολογικά δεδομένα των ALTHERR et al (1982).

Πιο συγκεκριμένα η ηλικία διείσδυσης του γρανίτη Δ. Ικαρίας είναι λίγο μεγαλύτερη από αυτή των 22,7 Ma, που υπολογίσθηκε με τη μέθοδο K/Ar σε κεροστίλιθες από την περιοχή του Αρμενιστή. Η διείσδυση πρέπει να έλαβε χώρα λίγο μετά το μέγιστο της μέσου βαθμού μεταμόρφωσης της ενότητας Ικαρίας, που τοποθετείται λίγο πριν τα $24,7 \pm 0,7$ Ma. Η ηλικία αυτή υπολογίσθηκε σε κεροστίλιθες της ενότητας Ικαρίας και θεωρείται ηλικίσ ψύξης και σταθεροποίησης του ραδιοισοτοπικού συστήματος των κεροστίλιθων. Άρα η πρώτη παραμορφωτική φάση που επέδρασε στο δυτικό και ανατολικό τμήμα του γρανίτη υπό συνθήκες αρκετά υψηλών θερμοκρασιών ($T=500-600^{\circ}\text{C}$), δηλαδή όταν ο γρανίτης ήταν ζεστός πρέπει να είναι λίγο μεταγενέστερη των 22,7 Ma.

Η δεύτερη παραμορφωτική φάση που είναι υπέυθυνη για την έντονη διάτημη και μυλονιτίωση του γρανίτη και την ταυτόχρονη ανακρυστάλλωση χαλαζία και μαρμαρυγών, συνόδευσε τον γρανίτη κατά την ψύξη του από θερμοκρασίες χαμηλώτερες των 500°C μέχρι θερμοκρασίες αρκετά χαμηλώτερες των 300°C (Κεφ. 2.2). Αναλύσεις απατιτών σε πλήρωση σχισμών (Fission track) στο παραμορφωμένο τμήμα του γρανίτη έδωσαν ηλικία 7,1 Ma για την ψύξη του πετρώματος κάτω από τους 120°C (ALTHERR et al, 1982). Ραδιοχρονολογήσεις με τη μέθοδο K/Ar σε μοσχοβίτες και βλοτίτες, που έγιναν από τους ίδιους ερευνητές έδωσαν ηλικίες 9-11 Ma για την ψύξη του γρανίτη κάτω από τους 300°C . Άρα σύμφωνα με τα παραπάνω το κλείσιμο της δεύτερης παραμορφωτικής φάσης πρέπει να τοποθετηθεί στο διάστημα μεταξύ 9 και 7 Ma.

Από όσα αναφέρθηκαν γίνεται φανερή η χρονική διαδοχή των δύο παραμορφωτικών φάσεων, οι οποίες, ας σημειωθεί, έλαβαν χώρα κατά τη διάρκεια της ψύξης του γρανίτη στο χρονικό διάστημα από 22,7 Ma μέχρι 7 Ma. Άν συγκρίνουμε τον προσανατολισμό και το είδος της συμμετρίας των δομών, που δημιουργήθηκαν κατά τις δύο φάσεις,



Εικ. 10: Σχηματικό διάγραμμα της γεωτεκτονικής δομής κατά το Μειόκαινο της ευρύτερης περιοχής Ικαρίας, το οποίο ερμηνεύει την δημιουργία των μικροδομών στον γρανίτη Δ. Ικαρίας, στα πλαίσια δημιουργίας διατημητικού ζεύγους δυνάμεων στην ενδιάμεση ζώνη των μεταμορφωμένων (Ικαρία, Μεσαρά) και του γρανίτη από την υποβύθιση των εξωτερικών ενοτήτων (Κερκετέας) και την επώθηση των εσωτερικών ενοτήτων (Κεφάλα).

Fig. 10: Schematic cross section of the wide Ikaria territory during the Miocene, explaining the deformation of the W. Ikaria granite.

καθώς επίσης και το εντατικό πεδίο στο οποίο οφείλονται, καταλήγουμε στο εξής συμπέρασμα: η δεύτερη παραμορφωτική φάση αποτελεί την χρονική συνέχεια της πρώτης, υπό την έννοια της προοδευτικής παραμόρφωσης, σε συνθήκες ανώτερου τεκτονικού ορόφου με μεγαλύτερη ταχυτήτα παραμόρφωσης και αλλαγή της συμμετρίας του τεκτονικού ιστού από μονοκλινή σε αξονική.

Η δεύτερη παραμορφωτική φάση αντιστοιχεί πιθανότατα στην ίδιας μορφής παραμορφωτική φάση, που επέδρασε στον γρανίτη της γεωτονικής Μυκόνου πριν $10-12$ Ma και τον μετέτρεψε σε ορθογενέσιο έως μυλονίτη, παρουσιάζοντας φορά διάτημης, όπως και στην Ικαρία, προς Βορρά (FAURE & BONNEAU, 1988).

Το κύριο τεκτονικό χαρακτηριστικό των γρανιτών της Ικαρίας είναι η ύπαρξη της α-γράμμωσης σε διεύθυνση N-S ακριβώς όπως και στα περιβάλλοντα μεταμορφωμένα πετρώματα. Η α-γράμμωση αυτή αποτελεί τον άξονα κίνησης της ζώνης μεγαδιάτμησης που αναπτύχθηκε ανάμεσα στο υποκείμενο υπόβαθρο των ενοτήτων τύπου εξωτερικές Ελληνίδες Ολύμπου - Αλμυροπόταμου - Κερκετέας και το υπερκείμενο, υπολειμματικό σήμερα λόγω διαβρώσεως, τεκτονικό κυκλαδικό κάλυμμα που περιλαμβάνει μη μεταμορφωμένα πετρώματα τύπου εσωτερικών Ελληνίδων (PAPANIKOLAOU, 1981, 1987).

Σε μια συνθετική σχηματική τομή της ευρύτερης περιοχής Ικαρία, Σάμος και Φούρνοι (Εικ. 10), η παραμόρφωση του γρανίτη Δ. Ικαρίας μπορεί να εξηγηθεί με την ανάπτυξη διαταρτικού ζεύγους με φορά προς Βορρά που δημιουργεί μυλονιτική δομή κυρίως στην περιφέρεια του γρανίτικού σώματος. Η δράση του διαταρτικού ζεύγους εντοπίζεται στο Κατώτερο Μελόκαινο ενώ στο Ανώτερο Μελόκαινο καθίσταται ανενεργή όπως δείχνουν η ασθενής παραμόρφωση του γρανίτη Ευλοσόύρτη και η ύπαρξη των Κάτω Πλειοκαινικών ιζημάτων στην νοτιοανατολική Ικαρία (KTENAS, 1927).

ΒΙΒΛΙΟΓΡΑΦΙΑ

- ALTHERR, R., - KELLER, J., - HARRE, W., - HOEHN DORF, A., - LENZ, H., - RASHCA, H., - WENDT, I., - WAGNER, G., (1977): Miocene metamorphism and related plutonism within the Attic - crystalline Complex. - VI Coll. Geol. Aegean Regions, p.345.
- ALTHERR, R. (1980): I- and S-type granitoids of the central Aegean crystalline Complex (Greece). EOS Trans. amer. geophys. Union 61, 402, Washington.
- ALTHERR, R., - KREUTZER, H., - WENDT, I., - LENZ, H., - WAGNER, G.A., - KELLER, J., - HARRE, W., - HOEHN DORF, A. (1982): A late Oligocene/Early Miocene High Temperature Belt in the Attic - Cycladic Crystalline Complex; SE Pelagonian, Greece. - Geol. Jb., E23, 97-164, Hannover.
- ANGELIER, J. (1979): Neotectonique de l' Arc Egee. Soc. Geol. Nord, Publ. 3, 417 p.
- ARMSTRONG, R.L., - JAEGER, E., - EBERHARDT, P. (1966): A comparison of K/Ar and Rb/Sr ages on alpine biotites. - Earth planet. Sci. Lett., 1, 13-19, Amsterdam.
- BERTHE, D., - CHOUKROUNE, P., - JEGOUZO, P., (1979): Orthogneiss, mylonite and non coaxial deformation of granites: the example of the South Armorican Shear Zone. - J. Struc. Geol., 1, 31-42.
- BRUNN, J. (1956): Contribution à l'étude géologique du Pinde septentrional et d'une partie de la Macédoine occidentale. Ann. Geol. Pays Hellen., 7, 1-358.
- DUERR, St., - ALTHERR, R., - KELLER, J., - OKRUSCH, M., - SEIDEL, E., (1978): The Median Aegean Crystalline Belt Stratigraphy, Structure, Metamorphism, Magmatism. - in: CLOOS, H., - ROEDER, D., - SCHMIDT, K. (eds): Alps, Appennines, Hellenides, 455-476, Stuttgart.
- FAURE, M., - BONNEAU, M. (1988): Données nouvelles sur l'extension néogène de l'Egee: la déformation ductile du granite miocène de Mykonos (Cyclades, Grèce). - C.R. Acad. Sci. Paris, 307, Serie II, 1553-1559.
- HANMER, S.K. (1982): Microstructure and geochemistry of plagioclase and microcline in naturally deformed granite. J. struct. Geol., 4, (1), 197-213.
- KRUHL, J.H. (1979): Deformation und Metamorphose des südwestlichen Finero-Komplexes (Ivrea-Zone, Norditalien) und der nördlich angrenzenden Gneiszone. Dissertation, Bonn 1979.
- KRUHL, J.H. (1984): Deformation and metamorphism at the base of the Helgeland nappe complex, northwest of Grong (Northern Norway). Geol. Rdsch., 73, Heft 2, 735-751.
- KRUHL, J.H. (1987): Preferred lattice orientations of plagioclase from amphibolite and greenschist facies rocks near the Insubric line (Western Alps). Tectonophysics, 135, 233-242.
- KTENAS, C. (1927): Decouverte du pliocene inférieur marin dans l' île de Nikaria (Mer Egee). - C.R. Acad. Sci., 184, 756-758, Paris.
- KTENAS, C. (1969): Γεωλογία της νήσου Ικαρίας (Συντάκτης Γ. Μαρίνος). Πεωλ.
- Γεωφ. Μελ., XIII, 2; 57-86.
- LISTER, G.S., - SNOKE, W.A. (1984): S-C Mylonites. - J. Struct. Geol., 6, (6), 617-638.
- ΠΑΠΑΝΙΚΟΛΑΟΥ, Δ. (1978): Συμβολή εἰς την γεωλογία της νήσου Ικαρίας (Αιγαίον Πέλαγος). - Ann. Geol. Pays Hell., 29, 1-28.
- ΠΑΠΑΝΙΚΟΛΑΟΥ, Δ. (1981): Remarks on the kinematic interpretation of folds from same cases of the Western Swiss Alps and of the Hellenides. Ann. Geol. Pays Hellen., 30/2, 741-762.
- ΠΑΠΑΝΙΚΟΛΑΟΥ, Δ. (1984): The three metamorphic belts of the Hellenides: a review and a kinematic interpretation. Geol. Soc. London, Spec. Publ. 17, 551-561.
- ΠΑΠΑΝΙΚΟΛΑΟΥ, Δ. (1986): Late Cretaceous Paleogeography of the metamorphic Hellenides. Geol. Geoph. Res., Sp. Issue, 315-328.
- ΠΑΠΑΝΙΚΟΛΑΟΥ, Δ. (1986): Γεωλογία της Ελλάδας. 240 σελ., Αθήνα.
- ΠΑΠΑΝΙΚΟΛΑΟΥ, Δ. (1986): Κεφάλαια Μικροτεκτονικής, 120 σελ. Αθήνα.
- ΠΑΠΑΝΙΚΟΛΑΟΥ, Δ. (1987): Tectonic evolution of the cycladic blueschist belt (Aegean Sea, Greece). - in: HELGESON, H.C. (ed): Chem. Transp. Metas. Processes, 429-450.
- ΠΑΠΑΝΙΚΟΛΑΟΥ, Δ. (1988): Η ενδιάμεση τεκτονομεταμορφική ζώνη των Ελληνίδων. Δελτ. Ελλ. Γεωλ. Εταιρ., 20/1, 101-120.
- PASSCHIER, C.W. (1984): The generation of the ductile and brittle shear bands in a low-ampel mylonite zone. - J. Struct. Geol., 6, 273-281.
- PHILIPPSON, A. (1898): La tectonique de l'Egee. Ann. de Geogr., 112-141, Paris.
- PHILIPPSON, A. (1959): Die griechischen Landschaften. Eine Landeskunde. IV. Das Aegeische Meer und seine Inseln. 414 s.
- PURDY, J.W., - JAGER, E. (1976): K/Ar ages on rock-forming minerals from the central Alps. - Mem. Inst. Geol. Mineral. Univ. Padova, 30, 1-32.
- RENZ, C. (1940): Die Tektonik der griechischen Gebirge. - Mem. Acad. Athens, 8, 171 s.
- SIMPSON, C. - SCHMIDT, S.M. (1983): An evaluation of criteria to deduce the sense of movements in sheared rocks. - Geol. Soc. Am. Bull., 94, 1281-1288.
- ΣΥΚΙΩΤΗ, Ο. - ΛΕΒΕΝΤΗΣ, Α. (1988): Τεκτονικός ιστός γρανιτών Ικαρίας. Διπλωμ. Εργασία, Γεωλ. Τμήμα Παν. Αθηνών, 90 σελ.
- VOLL, G. (1976): Recrystallisation of quartz, biotite and feldspar from Erstfeld to the Levantina nappe, Swiss Alps, and its geological significance. - Schweiz. min. petrol. Mitt., 56, 641-647.
- WHITE, S.H. - BURROWS, S.E. - CARRERAS, J. - SHAW, W.D., - HUMPHREYS, F.J. (1980): On mylonites in ductile shear zones. - J. Struct. geol., 2, 175-188.